



On peut vérifier que $\operatorname{div} \vec{E} = 0$ (voir l'exercice 31). Selon l'équation 7, on a donc

$$\iint_{S_2} \vec{E} \cdot d\vec{S} = \iint_{S_1} \vec{E} \cdot d\vec{S} + \iiint_E \operatorname{div} \vec{E} dV = \iint_{S_1} \vec{E} \cdot d\vec{S} = \iint_{S_1} \vec{E} \cdot \vec{n} dS.$$

Le point important de ce raisonnement est qu'on peut calculer facilement l'intégrale de surface sur S_1 parce que S_1 est une sphère. Le vecteur normal en \vec{x} est $\vec{x}/\|\vec{x}\|$ et donc

$$\vec{E} \cdot \vec{n} = \frac{\varepsilon Q}{\|\vec{x}\|^3} \vec{x} \cdot \left(\frac{\vec{x}}{\|\vec{x}\|} \right) = \frac{\varepsilon Q}{\|\vec{x}\|^4} \vec{x} \cdot \vec{x} = \frac{\varepsilon Q}{\|\vec{x}\|^2} = \frac{\varepsilon Q}{a^2}$$

puisque l'équation de S_1 est $\|\vec{x}\| = a$. Par conséquent,

$$\begin{aligned} \iint_{S_2} \vec{E} \cdot d\vec{S} &= \iint_{S_1} \vec{E} \cdot \vec{n} dS = \frac{\varepsilon Q}{a^2} \iint_{S_1} dS \\ &= \frac{\varepsilon Q}{a^2} A(S_1) = \frac{\varepsilon Q}{a^2} 4\pi a^2 = 4\pi \varepsilon Q. \end{aligned}$$

On a donc montré que le flux électrique de \vec{E} à travers toute surface fermée S_2 qui contient l'origine est égal à $4\pi \varepsilon Q$. C'est un cas particulier de la loi de Gauss (voir l'équation 11 de la section 10.2) pour une seule charge. La relation entre ε et ε_0 est $\varepsilon = 1/(4\pi \varepsilon_0)$.

UNE INTERPRÉTATION DE LA DIVERGENCE

On trouve une autre application du théorème de flux-divergence en mécanique des fluides. Soit le champ de vitesses $\vec{v}(x, y, z)$ d'un fluide de densité constante ρ . Alors $\vec{F} = \rho \vec{v}$ est le flux par unité d'aire. Pour un point $P_0(x_0, y_0, z_0)$ du fluide et pour une boule B_a de centre P_0 et de très petit rayon a , $\operatorname{div} \vec{F}(P) \approx \operatorname{div} \vec{F}(P_0)$ pour tout point de B_a puisque $\operatorname{div} \vec{F}$ est continue. On approxime le flux sur la sphère frontière S_a par

$$\iint_{S_a} \vec{F} \cdot d\vec{S} = \iiint_{B_a} \operatorname{div} \vec{F} dV \approx \iiint_{B_a} \operatorname{div} \vec{F}(P_0) dV = \operatorname{div} \vec{F}(P_0) V(B_a).$$

Cette approximation s'améliore lorsque $a \rightarrow 0$ et suggère que

$$\operatorname{div} \vec{F}(P_0) = \lim_{a \rightarrow 0} \frac{1}{V(B_a)} \iint_{S_a} \vec{F} \cdot d\vec{S}.$$

Selon l'équation 8, $\operatorname{div} \vec{F}(P_0)$ est le flux sortant net par unité de volume en P_0 (d'où le nom «divergence»). Si $\operatorname{div} \vec{F}(P) > 0$, le flux net est «sortant» près de P , et ce point est appelé **source**. Si $\operatorname{div} \vec{F}(P) < 0$, le flux net est «entrant» près de P , et ce point est appelé **puits**.

Dans le cas du champ vectoriel illustré à la figure 5, les flèches représentant les vecteurs dont l'extrémité est proche de P_1 sont plus courtes que celles dont l'origine est proche de P_1 . Le flux net est sortant près de P_1 , $\operatorname{div} \vec{F}(P_1) > 0$, et P_1 est une source. Proche de P_2 , les flèches entrantes sont plus longues que les flèches sortantes. Ici, le flux net est entrant, $\operatorname{div} \vec{F}(P_2) < 0$, et P_2 est un puits. L'examen de la formule définissant \vec{F} confirme cette impression. Comme $\vec{F} = x^2 \vec{i} + y^2 \vec{j}$, on a $\operatorname{div} \vec{F} = 2x + 2y$, qui est positive lorsque $y > -x$. Les points au-dessus de la droite $y = -x$ sont donc des sources, et les points au-dessous sont des puits.

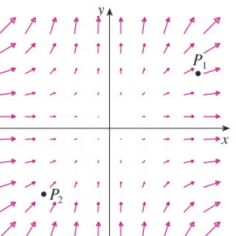


FIGURE 5
Le champ vectoriel $\vec{F} = x^2 \vec{i} + y^2 \vec{j}$.

Exercices 10.5

1-4 Vérifiez que le théorème de flux-divergence est vrai pour le champ vectoriel \vec{F} sur la région E .

1. $\vec{F}(x, y, z) = 3x\vec{i} + xy\vec{j} + 2xz\vec{k}$, E est le cube borné par les plans $x = 0$, $x = 1$, $y = 0$, $y = 1$, $z = 0$ et $z = 1$.

2. $\vec{F}(x, y, z) = y^2 z^3 \vec{i} + 2yz\vec{j} + 4z^2 \vec{k}$, E est le solide borné par le parabololoïde $z = x^2 + y^2$ et le plan $z = 9$.

3. $\vec{F}(x, y, z) = z\vec{i} + y\vec{j} + x\vec{k}$, E est la boule $x^2 + y^2 + z^2 \leq 16$.

4. $\vec{F}(x, y, z) = x^2 \vec{i} - y\vec{j} + z\vec{k}$, E est le cylindre solide $y^2 + z^2 \leq 9$, $0 \leq x \leq 2$.

5-15 Utilisez le théorème de flux-divergence pour calculer l'intégrale de surface $\iint_S \vec{F} \cdot d\vec{S}$, c'est-à-dire pour calculer le flux de \vec{F} à travers S .

5. $\vec{F}(x, y, z) = xy^2 \vec{i} + xy^2 z^3 \vec{j} - ye^z \vec{k}$, S est la surface de la boîte formée par les plans de coordonnées et les plans $x = 3$, $y = 2$ et $z = 1$.

6. $\vec{F}(x, y, z) = x^2 yz \vec{i} + xy^2 z \vec{j} + xy^2 z^2 \vec{k}$, S est la surface de la boîte bornée par les plans $x = 0$, $x = a$, $y = 0$, $y = b$, $z = 0$, $z = c$, où a , b et c sont des nombres positifs.

7. $\vec{F}(x, y, z) = 3xy^2 \vec{i} + xe^z \vec{j} + z^3 \vec{k}$, S est la surface du solide borné par le cylindre $y^2 + z^2 = 1$ et les plans $x = -1$ et $x = 2$.

8. $\vec{F}(x, y, z) = (x^3 + y^3) \vec{i} + (y^3 + z^3) \vec{j} + (z^3 + x^3) \vec{k}$, S est la sphère centrée à l'origine, de rayon 2.

9. $\vec{F}(x, y, z) = xe^x \vec{i} + (z - e^y) \vec{j} - xy\vec{k}$, S est l'ellipsoïde $x^2 + 2y^2 + 3z^2 = 4$.

10. $\vec{F}(x, y, z) = z\vec{i} + y\vec{j} + z\vec{k}$, S est la surface du tétraèdre borné par les plans de coordonnées et le plan

$$\frac{x}{a} + \frac{y}{b} + \frac{z}{c} = 1$$

où a , b et c sont des nombres positifs.

11. $\vec{F}(x, y, z) = (2x^3 + y^3) \vec{i} + (y^3 + z^3) \vec{j} + 3y^2 z \vec{k}$, S est la surface du solide borné par le parabololoïde $z = 1 - x^2 - y^2$ et le plan xy .

12. $\vec{F}(x, y, z) = (xy + 2xz) \vec{i} + (x^2 + y^2) \vec{j} + (xy - z^2) \vec{k}$, S est la surface du solide borné par le cylindre $x^2 + y^2 = 4$ et les plans $z = y - 2$ et $z = 0$.

13. $\vec{F} = \vec{r}/\|\vec{r}\|$, où $\vec{r} = x\vec{i} + y\vec{j} + z\vec{k}$, S est constituée de l'hémisphère $z = \sqrt{1 - x^2 - y^2}$ et du disque $x^2 + y^2 \leq 1$ dans le plan xy .

14. $\vec{F} = |\vec{r}|^2 \vec{r}$ où $\vec{r} = x\vec{i} + y\vec{j} + z\vec{k}$, S est la sphère de rayon R centrée à l'origine.

15. $\vec{F}(x, y, z) = (x + \sin(z)) \vec{i} + (2y + e^{x^2 - z^2}) \vec{j} + (1 + 4z) \vec{k}$, S est une surface délimitant un solide E dont le volume est égal à 27.

LGS 16. À l'aide d'un logiciel de calcul symbolique, représentez le champ vectoriel

$$\vec{F}(x, y, z) = \sin x \cos^2 y \vec{i} + \sin^3 y \cos^4 z \vec{j} + \sin^5 z \cos^6 x \vec{k}$$

dans le cube découpé dans le premier octant par les plans $x = \pi/2$, $y = \pi/2$ et $z = \pi/2$. Calculez ensuite le flux de \vec{F} à travers la surface du cube.

17. Servez-vous du théorème de flux-divergence pour calculer $\iint_S \vec{F} \cdot d\vec{S}$, où

$$\vec{F}(x, y, z) = z^2 x \vec{i} + \left(\frac{1}{3} y^3 + \tan z\right) \vec{j} + (x^2 z + y^2) \vec{k}$$

et où S est l'hémisphère supérieur de la sphère $x^2 + y^2 + z^2 = 1$, orienté vers le haut. (Suggestion : Remarquez que S n'est pas une surface fermée. Calculez d'abord les intégrales sur S_1 et S_2 , où S_1 est le disque $x^2 + y^2 \leq 1$, orienté vers le bas, et $S_2 = S \cup S_1$)

18. Soit S la boîte ouverte (sans fond ni couvercle) dont les côtés sont définis par $x = 0$, $y = 0$, $x = 3$ et $y = 3$, $0 \leq z \leq 4$. Les côtés sont orientés par les vecteurs \vec{i} , \vec{j} , $-\vec{i}$, $-\vec{j}$, respectivement. Utilisez le théorème de flux-divergence pour évaluer l'intégrale $\iint_S \vec{F} \cdot d\vec{S}$, où

$$\vec{F}(x, y, z) = [x^2 + \arctan(z(4-z))] \vec{i} + x(3-x)z^3 \vec{j} + z(z-4) \vec{k}$$

(Suggestion : Fermez d'abord la surface.)

19. Soit $\vec{F}(x, y, z) = z \arctan(y^2) \vec{i} + z^3 \ln(x^2 + 1) \vec{j} + z \vec{k}$. Trouvez le flux de \vec{F} à travers la partie du parabololoïde $x^2 + y^2 + z^2 = 1$ située au-dessus du plan $z = 1$ et orientée vers le haut.

20. Soit S la partie du cône $z = \sqrt{x^2 + y^2}$ située sous le plan $z = 1$ et orientée vers l'intérieur. Calculez le flux du champ vectoriel

$$\vec{F}(x, y, z) = (2x + \cos(\pi z)) \vec{i} + (3y - 2z \sin(\pi z)) \vec{j} + (x^2 + y^2 + (z-1)^2) \vec{k}$$

à travers S .

21. Calculez le flux du champ vectoriel

$$\vec{F}(x, y, z) = \sin(\pi y) \vec{i} - x^2 \vec{j} + \cos(\pi y) \vec{k}$$

à travers la partie du cylindre $x^2 + z^2 = 4$ située entre le plans $y = 0$ et $y = 2$, orientée vers l'extérieur.

22. Soit $S = S_1 \cup S_2 \cup S_3$ la surface constituée des trois parties suivantes : S_1 est la partie du cylindre parabolique $z = 4 - y^2$ située au-dessus du plan $z = 0$, S_2 est la partie du plan $x = 2$ au-dessus du plan $z = 0$ et au-dessous du cylindre S_1 , et S_3 est la partie du plan $x = -1$ au-dessus du plan $z = 0$ et au-dessous du cylindre S_1 . La surface S est orientée aux points $(0, 0, 4)$, $(2, 0, 0)$ et $(-1, 0, 0)$ par les vecteurs \vec{k} , \vec{i} et $-\vec{i}$, respectivement.

a) Esquissez la surface S en indiquant son orientation.

b) Calculez le flux du champ

$$\vec{F}(x, y, z) = (x^2 + ze^{xz}) \vec{i} + (xy + 3ze^{xz}) \vec{j} - x\vec{k}$$

à travers S .

23. Soit S le cylindre $x^2 + y^2 = h^2$ fermé à ses extrémités par les plans $z = -h$ et $z = 2h$ et soit le champ vectoriel

$$\vec{F} = (x^3 - y^2) \vec{i} + (y^3 - z^2) \vec{j} + \frac{1}{h^2} (x^2 - z^4) \vec{k}$$

Pour quelle valeur de h le flux de \vec{F} à travers S est-il minimal?

